

Смешанное состояние и критический ток в узких сверхпроводящих пленках

© Г.М. Максимова

Нижегородский государственный университет им. Н.И. Лобачевского,
603000 Нижний Новгород, Россия

E-mail: ilmaks@phys.unn.runnet.ru

(Поступила в Редакцию 23 января 1998 г.
В окончательной редакции 3 апреля 1998 г.)

Рассматривается смешанное состояние тонких узких сверхпроводящих пленок с краевым барьером, находящихся в поперечном магнитном поле. Найдены границы области существования метастабильных смешанных состояний с заданным числом вихрей N : $H_{\min}(N) \leq H \leq H_{\max}(N)$. Для пленок найдена зависимость критического тока от магнитного поля. Обсуждается переход от мейсснеровского к статическому смешанному состоянию.

Изучению поведения тонких сверхпроводящих пленок в перпендикулярном магнитном поле посвящено большое число работ. Известно, что достаточно сильное магнитное поле приводит к проникновению вихрей в пленку. Если объемный пиннинг мал, то эти вихри, возникнув у краев образца, "сносятся" мейсснеровскими токами в центральную часть пленки, образуя смешанное состояние. Устойчивость такого состояния обусловлена существованием барьера на вход (выход) вихрей, аналогичного поверхностному барьеру Бина–Ливингстона. Краевой барьер влияет также на транспортные свойства, намагниченность и другие характеристики тонких токонесущих полосок. В работах [1,2] рассматривались структура, область стабильности и релаксация смешанного состояния широких ($d \ll \lambda_{\perp} \ll W$, где d — толщина, W — ширина пленки, $\lambda_{\perp} = 2\lambda^2/d$, λ — лондоновская длина) пленок в поперечном магнитном поле. Влияние краевого барьера на критический ток таких пленок обсуждалось в работе Куприянова и Лихарева [3]. Зарождение вихрей у краев и их проникновение внутрь узкой пленки рассматривалось в [4] методом решения нестационарных уравнений Гинзбурга–Ландау.

В настоящей работе рассчитана зависимость критического тока от магнитного поля для узкой пленки: $\xi \ll d \ll W \ll \lambda_{\perp}$ (ξ — длина когерентности). Сначала в разделе 1 рассматривается смешанное состояние пленки с заданным числом вихрей N в поперечном магнитном поле в отсутствие транспортного тока. В результате анализа энергии Гиббса пробного вихря ΔG найдем интервал значений внешнего магнитного поля $H_{\min}(N) \leq H \leq H_{\max}(N)$, определяющий границы стабильности квазиравновесных состояний с данным N . Показано, что абсолютной границей смешанного состояния является поле $\tilde{H} = \Phi_0/(4\pi\xi^2)$, $\tilde{H} \propto H_{c2}$ (Φ_0 — квант магнитного потока).

В разделах 2 и 3 обсуждается поведение пленки с током в магнитном поле. Транспортный ток I , пропускаемый вдоль пленки, изменяет условия входа и выхода вихрей. В зависимости от соотношения между I и H пленка, первоначально находившаяся в мейсснеровском состоянии, может перейти либо в резистивное состояние

(при $I > I_c(H)$), либо в статическое смешанное состояние, которое при дальнейшем увеличении тока также теряет свою устойчивость.

1. Структура смешанного состояния узкой пленки в отсутствие транспортного тока

Рассмотрим сверхпроводящую пленку шириной W ($-W/2 \leq y \leq W/2$) и толщиной d ($0 \leq z \leq d$, $d \ll \lambda_{\perp}$), находящуюся в магнитном поле $\mathbf{H} = (0, 0, H)$. Распределение линейной плотности тока $i = i_x = j_x d$ описывается обобщенным уравнением Максвелла–Лондонов [3,5]

$$\frac{2\pi}{c} \lambda_{\perp} \frac{di}{dy} + \frac{2}{c} \int_{-W/2}^{W/2} \frac{i(t)dt}{t-y} = H - n(y)\Phi_0, \quad (1)$$

где $n(y)$ — усредненная плотность вихрей, отличная от нуля в области пленки, где $i(y) = 0$. Плотность тока $i(y)$ в общем случае есть сумма плотностей транспортного тока, мейсснеровского тока и тока вихрей, образующих смешанное состояние. В главном приближении по $W/\lambda_{\perp} \ll 1$ получим из (1)

$$n(y) = \begin{cases} H/\Phi_0, & |y| \leq \theta, \\ 0, & |y| \geq \theta, \end{cases} \quad (2)$$

$$i(y) = \frac{cH}{2\pi\lambda_{\perp}} \begin{cases} y - \theta, & \theta \leq y \leq \frac{W}{2}, \\ 0, & |y| \leq \theta, \\ y + \theta, & -\frac{W}{2} \leq y \leq -\theta. \end{cases} \quad (3)$$

Параметр θ , определяющий полуширину области, занятой вихрями, связан с числом вошедших в пленку вихрей: $N = 2H\theta/\Phi_0$.

Рассмотрим энергию Гиббса пробного вихря в пленке как функцию его координаты y_0 . Как было показано

в [1,6], $\Delta G(y_0, N)$ можно представить в виде

$$\Delta G(y_0, N) = E_0(y_0) + E_1(y_0), \quad (4)$$

где $E_0(y_0)$ — собственная энергия вихря в узкой пленке [5],

$$E_0(y_0) = \frac{\Phi_0^2}{8\pi^2\lambda_\perp} \left\{ \ln \frac{\lambda_\perp}{2\xi} + \sum_{n=1}^{k_0/2} \ln \left[\frac{(2n-1)^2}{2n^2} - \frac{y_0^2}{n^2W^2} \right] \right\}, \quad (5)$$

$k_0 = \lambda_\perp/W \gg 1$. Это выражение в пределе $k_0 \gg 1$ можно преобразовать к виду, более удобному для дальнейших вычислений (см. Приложение)

$$E_0(y_0) = \frac{\Phi_0^2}{8\pi^2\lambda_\perp} \ln \left[\frac{W}{\pi\xi} \cos \left(\frac{\pi y_0}{W} \right) \right], \quad |y_0| \leq \frac{W}{2} - \xi. \quad (6)$$

Функция $E_1(y_0, N)$ в формуле (4) — энергия взаимодействия пробного вихря с током $i(y)$

$$E_1(y_0) = \frac{\Phi_0}{2c} \left[\int_{-W/2}^{y_0} idy - \int_{y_0}^{W/2} idy \right]. \quad (7)$$

Предполагая для определенности, что $y_0 > 0$, получим из (3), (7)

$$E_1(y_0, N) = \frac{\Phi_0 H}{4\pi\lambda_\perp} \times \begin{cases} [(y_0 - \theta)^2 - (W/2 - \theta)^2], & \theta \leq y_0 \leq \frac{W}{2}, \\ -(W/2 - \theta)^2, & 0 \leq y_0 \leq \theta. \end{cases} \quad (8)$$

Смешанное состояние (2), (3) является стабильным (точнее метастабильным) до тех пор, пока существуют энергетические барьеры для входа вихря в пленку и выхода из нее. Поле $H_{\max}(N)$, при котором подавляется барьер на вход, может быть найдено из условия

$$\left. \frac{\partial \Delta G(y, N)}{\partial y} \right|_{y=W/2-\xi} = 0 \quad (9)$$

и с учетом (4), (6) и (8) равно

$$H_{\max}(N) = H_s + \frac{N\Phi_0}{W}(1 + 2\xi/W), \quad (10)$$

где H_s — поле вхождения первого вихря [6]

$$H_s = \frac{\Phi_0}{2\pi\xi W}. \quad (11)$$

Поле $H_{\min}(N)$, соответствующее исчезновению барьера для выхода вихрей из пленки, определяет нижнюю границу стабильности смешанного состояния. Оно равно

такому полю, при котором зависимость $\Delta G(y_0, N)$ от y_0 в области $\theta \leq y_0 \leq \frac{W}{2} - \xi$ становится монотонной

$$\begin{cases} \frac{d}{dy_1} \Delta G(y_1, N) = 0, \\ \frac{d^2}{dy_1^2} \Delta G(y_1, N) = 0, \end{cases} \quad (12)$$

или в явном виде

$$\frac{N\Phi_0}{4\pi\lambda_\perp} = P(y_1), \quad y_1 = \frac{W}{2} \arccos \sqrt{\frac{H'}{H}}. \quad (13)$$

где

$$P(y) = \frac{H}{2\pi\lambda_\perp} y - \frac{\Phi_0}{8\pi\lambda_\perp W} \operatorname{tg} \left(\frac{\pi y}{W} \right), \quad (14)$$

$$H' = \frac{\pi\Phi_0}{4W^2}. \quad (15)$$

Решая данную систему уравнений, получим выражение для определения $H = H_{\min}(N)$

$$\frac{\pi\Phi_0 N}{2HW} = \arccos \sqrt{\frac{H'}{H}} - \sqrt{\frac{H'}{H}} \sqrt{1 - \frac{H'}{H}}. \quad (16)$$

Из (16) следует, что поле H' можно назвать полем выхода для одного вихря ($N = 0$): при $0 < H < H'$ вихри в пленке абсолютно неустойчивы. В области полей H , близких к H' , как следует из (16),

$$H_{\min}(N) \approx H' \left[1 + \left(\frac{3\pi\Phi_0 N}{4WH'} \right)^{2/3} \right]. \quad (17)$$

Заметим, что $\frac{dH_{\min}}{dN} \Big|_{N \rightarrow 0} \rightarrow \infty$. В области больших полей $H \gg H'$ имеем

$$H_{\min}(N) \approx \frac{\Phi_0 N}{W} + \frac{4}{\pi} \sqrt{\frac{H'\Phi_0 N}{W}}. \quad (18)$$

Необходимо отметить, что с ростом H точка перегиба y_1 (13) смещается к краю пленки. Максимальное значение $y_1 \approx W/2 - \xi$ достигается при $H = \tilde{H}$, где

$$\tilde{H} = \frac{\Phi_0}{4\pi\xi^2} \propto H_{c2}. \quad (19)$$

Таким образом, асимптотическое выражение (18) справедливо при $H \leq \tilde{H}$. При $H > \tilde{H}$, $H_{\max}(N) = H_{\min}(N)$, т.е. \tilde{H} является максимальным полем, при котором пленка еще находится в смешанном состоянии (как следует из (19), в полях, близких к \tilde{H} , происходит перекрытие ядер вихрей, что означает почти полное разрушение сверхпроводимости и переход пленки в нормальное состояние).

2. Устойчивость мейсснеровского состояния в пленке с током

Рассмотрим теперь задачу об устойчивости сверхпроводящего состояния пленки с током в магнитном поле. Будем считать, что ток I течет в положительном направлении оси x . При достаточно низких полях H пленка находится в мейсснеровском состоянии и распределение

тока дается формулой

$$i(y) = \frac{cH}{2\pi\lambda_{\perp}} y + \frac{I}{W}. \quad (20)$$

При этом проникновению вихрей в пленку препятствует краевой барьер при $y_0 = W/2$. Он исчезает при $I = I_c(H)$, когда функция $\Delta G(y_0)$ (определенная с помощью (4), (6), (7) и (20)) становится монотонной.¹ Экстремальные точки функции $\Delta G(y_0)$ являются решением уравнения

$$P(y_0) = -I/(cW), \quad (21)$$

где функция $P(y)$ определяется формулой (14), причем значение этой функции на краю пленки равно

$$P\left(\frac{W}{2} - \xi\right) = \frac{W}{4\pi\lambda_{\perp}}(H - H_s). \quad (22)$$

В полях $H < H^*$ (поле H^* определено далее) значение функции $P(y_0)$ в точке экстремума по модулю меньше соответствующего значения на краю. Таким образом, решение уравнения (21) пропадает при $I > I_c(H)$, где

$$I_c(H) = \frac{cW^2}{4\pi\lambda_{\perp}}(H_s - H), \quad H \leq H^*. \quad (23)$$

Ток $I_c(H)$ можно назвать током подавления барьера на вход вихрей. Поле H^* , ограничивающее применимость последней формулы, находится из условия равенства функции $P(y_0)$ в точке минимума ее значению на краю пленки $y_0 = W/2 - \xi$. С учетом явного вида $P(y_0)$ (14) имеем

$$\frac{\pi}{2} \left(\frac{H_s}{H^*} - 1 \right) = \arccos \sqrt{\frac{H'}{H^*}} - \sqrt{\frac{H'}{H^*} \left(1 - \frac{H'}{H^*} \right)}. \quad (24)$$

Предполагая, что $H^* \gg H'$, найдем отсюда

$$H^* \approx \frac{H_s}{2} \left(1 + Q \left(\sqrt{\frac{H'}{H_s}} \right) \right). \quad (25)$$

В полях $H > H^*$ значение функции $P(y_0)$ в точке минимума будет меньше соответствующего значения на краю пленки. Это означает, что при токе $I_c(H)$ (23) (когда открыт барьер на вход вихрей) появляются решения уравнения (21). Анализ показывает, что при этом выходе вихрей из пленки со стороны $y_0 = -W/2$ препятствует краевой барьер, т.е. появляется возможность возникновения смешанного состояния, характеризуемого числом захваченных вихрей N . И дальнейший анализ поведения пленки при токах $I > I_c(H)$ и $H^* < H < H_s$ необходимо проводить самосогласованным образом, используя функцию Гиббса пробного вихря для пленки, находящейся в смешанном состоянии.²

¹ Аналогичные расчеты были выполнены Шмидтом при нахождении критического тока безграничной пленки в параллельном магнитном поле [7].

² В цитируемой работе [7], результаты которой (касающиеся $I_c(H)$) с точностью до обозначений совпадают с результатами данного раздела, при $H > H^*$ предполагалось, что критический ток определяется выражением, аналогичным (21). Анализ этой формулы приводит к явлению пик-эффекта, что было бы верным только в том случае, когда смешанное состояние в пленке не образуется.

3. Критический ток пленки в смешанном состоянии

Текущий по пленке транспортный ток I смещает область, занятую вихрями в сторону отрицательных значений y ,

$$n(y) = \begin{cases} H/\Phi_0, & y \in [b, a], \\ 0, & y \in [b, a], \end{cases} \quad (26)$$

$$i(y) = \frac{cH}{2\pi\lambda_{\perp}} \begin{cases} y - a, & a \leq y \leq \frac{W}{2}, \\ 0, & y \in [b, a], \\ y - b, & -\frac{W}{2} \leq y \leq b, \end{cases} \quad (27)$$

где

$$a = \Delta + \theta, \quad b = \Delta - \theta. \quad (28)$$

Полный ток I равен

$$I = -\frac{cH}{2\pi\lambda_{\perp}} \Delta(W - 2\theta). \quad (29)$$

Таким образом, Δ определяет величину смещения области, занятой вихрями, под действием тока, а θ по-прежнему определяется числом захваченных вихрей N . Обсудим теперь устойчивость смешанного состояния (26)–(29). Прежде всего заметим, что при $N \neq 0$ функция $\Delta G(y_0, N)$ не может быть монотонной всюду внутри области $-\frac{W}{2} < y_0 < \frac{W}{2}$. Поэтому критический ток I_c мы будем определять как такой ток, при котором вихри могут входить в пленку (открыт барьер на вход) и выходить из нее (подавлен барьер на выход).

а) В области полей $H^* < H < H_s$ условие, при котором открывается барьер на вход вихрей в пленку, имеет вид

$$P\left(\frac{W}{2} - \xi\right) = \frac{Ha}{2\pi\lambda_{\perp}}. \quad (30)$$

Используя (22), (28), (29), получим выражение для тока входа вихрей $I_{\text{en}}(N, H)$

$$\frac{4\pi\lambda_{\perp}}{cW} I_{\text{en}}(N, H) = -\frac{\Phi_0^2 N^2}{WH} + \Phi_0 N \left(2 - \frac{H_s}{H} \right) + W(H_s - H). \quad (31)$$

Аналогично вихри выходят из пленки при $I \geq I_{\text{ex}}(N, H)$, где ток выхода $I_{\text{ex}}(N, H)$ определен уравнением

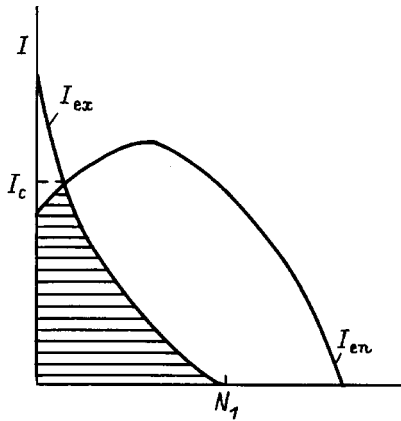
$$P(y_0^*) = \frac{Hb}{2\pi\lambda_{\perp}}, \quad (32)$$

или в явном виде

$$\frac{4\pi\lambda_{\perp}}{cW} I_{\text{ex}}(N, H) = -\left(1 - \frac{\Phi_0 N}{WH} \right) \times \left(\Phi_0 N + 4\pi\lambda_{\perp} P(y_0^*) \right), \quad (33)$$

где y_0^* — точка минимума функции $P(y_0)$

$$y_0^* \approx -\frac{W}{2} + \frac{W}{\pi} \sqrt{H'/H}. \quad (34)$$



Зависимости $I_{en}(N)$ и $I_{ex}(N)$ от числа захваченных вихрей N при данном значении H . Заштрихованная область соответствует стабильному смешанному состоянию. Точка пересечения кривых $I_{en}(N)$ и $I_{ex}(N)$ определяет критический ток I_c .

При $N = 0$ имеем

$$I_{ex}(0, H) = \frac{cW^2H}{4\pi\lambda_{\perp}}, \quad (35)$$

$$I_{en}(0, H) = \frac{cW^2(H_s - H)}{4\pi\lambda_{\perp}}. \quad (36)$$

Зависимости $I_{en}(N, H)$ и $I_{ex}(N, H)$ от N при $H^* < H < H_s$ изображены на рисунке. Как следует из формулы (33), ток выхода $I_{ex}(N_1, H) = 0$ при значении $N = N_1$, обращающем в нуль вторую скобку в выражении (33). Учитывая (14) и (34), получим

$$N_1 = \frac{W}{\Phi_0} \left(H - \frac{4}{\pi} \sqrt{H'H} \right).$$

Рассмотрим теперь сценарий перехода пленки из начального меиснеровского состояния с $N = 0$ в заданном магнитном поле (мы рассматриваем $H < H_s$) в статическое смешанное или резистивное состояние. Пока мы увеличиваем ток до значения $I_{en}(N = 0)$ (36), мы находимся в стабильном меиснеровском состоянии. При $I > I_{en}(N = 0)$ вихри начнут входить в пленку и N станет отличным от нуля, т.е. мы попадаем в область стабильности смешанного состояния (см. рисунок). Так будет продолжаться до тех пор, пока I не достигнет величины $I_c(H)$, где $I_c(H)$ — ток, при котором пересекаются линии $I_{en}(N)$ и $I_{ex}(N)$. При $I > I_c(H)$ вихри входят в пленку со стороны $y = W/2$ и выходят с другого края, т.е. пленка находится в динамическом смешанном (резистивном) состоянии. Значение критического тока найдем из формул (31) и (33)

$$I_c(H) = \frac{cW^2}{16\pi\lambda_{\perp}} \frac{H_s^2}{H}, \quad H^* < H < H_s. \quad (37)$$

Данная зависимость совпадает с аналогичным выражением для широких ($W \gg \lambda_{\perp}$) пленок [3].

б) В полях $H_s < H < \tilde{H}$ при $I = 0$ пленка уже находится в смешанном состоянии. Пропускание по ней

слабого тока приведет, во-первых, к увеличению числа захваченных вихрей, и, во-вторых, к перестройке их распределения (26). При токах больше критического открывается барьер на выход вихрей, и пленка переходит в резистивное состояние. Выражение для критического тока в этой области значений магнитного поля имеет вид

$$I_c(H) = \frac{c}{16\pi\lambda_{\perp}} \frac{(H_s W - 2H\xi)^2}{H}, \quad H_s < H < \tilde{H}. \quad (38)$$

При $H \ll \tilde{H} = H_s W / (2\xi)$ (38) переходит в (37), а при $H = \tilde{H}$, $I_c(\tilde{H}) = 0$.

Интересно отметить, что рассматриваемая нами задача об устойчивости токового состояния тонких и узких полосок в поперечном магнитном поле идентична аналогичной задаче для тонких безграничных пластин в параллельной геометрии [7]. Характерные магнитные поля H' , H_{c1} , H_s пленок одинаковым образом зависят от поперечного масштаба, в роли которого выступают ширина пленки W в нашей задаче и толщина пластины d в задаче [7]. По-видимому, это факт связан с малостью параметра W/λ_{\perp} и соответственно d/λ в [7]: меиснеровские токи линейно зависят от координаты y , а структуры абрикосовского и пирловского вихрей на малых расстояниях практически совпадают. Полученные нами результаты могут быть использованы для ВТСП-пленок, в которых лондонская глубина λ достаточно велика и условие $W \ll \lambda_{\perp}$ может быть реализовано. На основе рассмотренной здесь модели можно рассчитать магнитные и диссипативные характеристики тонкопленочных сверхпроводящих мостиков.

Автор благодарен И.Л. Максимова за полезные обсуждения.

Работа выполнена при частичной финансовой поддержке Минобрнауки РФ (грант № 95-0-7.3-178), а также Миннауки РФ (проект № 95057).

Приложение

Используя выражение (5), представим $\frac{dE_0}{dy_0}$ в виде

$$\begin{aligned} \frac{dE_0}{dy_0} = & - \frac{\Phi_0^2}{8\pi^2\lambda_{\perp}W} \left\{ \frac{2y_0/W}{(y_0/W)^2 - 1/4} \right. \\ & + \sum_{n=0}^{k_0/2} \frac{1}{n - 1/2 - y_0/W} \\ & \left. - \sum_{n=0}^{k_0/2} \frac{1}{n - 1/2 + y_0/W} \right\}. \quad (П1) \end{aligned}$$

Входящие в (П1) суммы можно выразить через $\Psi(z) = d \ln \Gamma(z)/dz$

$$\sum_{n=0}^{k_0/2} \frac{1}{n - 1/2 \mp y_0/W} = \Psi\left(\frac{k_0}{2} + \frac{1}{2} \mp \frac{y_0}{W}\right) - \Psi\left(-\frac{1}{2} \mp \frac{y_0}{2}\right). \quad (\text{П2})$$

Подставляя (П2) в (П1) и используя асимптотику $\Psi(z)$ при $z \gg 1$ ($\Psi(z) \approx \ln z$), а также функциональные соотношения [8], получим

$$\frac{dE_0}{dy_0} = \frac{-\Phi_0^2}{8\pi^2 \lambda_{\perp} W} \pi \operatorname{tg} \frac{\pi y_0}{W}. \quad (\text{П3})$$

Интегрирование (П3) с учетом граничного условия $E_0(\frac{W}{2} - \xi) = 0$ приводит к формуле (6).

Список литературы

- [1] И.Л. Максимов, Г.М. Максимова. Письма в ЖЭТФ **65**, 5, 405 (1997).
- [2] G.M. Maksimova, I.L. Maksimov. Physica **C282–287**, 2198 (1997).
- [3] М.Ю. Куприянов, К.К. Лихарев. ФТТ **16**, 10, 2829 (1974).
- [4] I. Aranson, M. Gitterman, V.Ya. Shapiro. Phys. Rev. **B51**, 3092 (1995).
- [5] А.И. Ларкин. Ю.Н. Овчинников. ЖЭТФ **61**, 3(9), 1221 (1971).
- [6] К.К. Лихарев. Изв. вузов. Радиофизика **14**, 6(12), 2095 (1971).
- [7] В.В. Шмидт. ЖЭТФ **57**, 6(12), 2095 (1969).
- [8] И.С. Градштейн, И.М. Рыжик. Таблица интегралов, сумм, рядов и произведений. Наука, М. (1971). 959 с.